

## 8. Stabilität

### A. Allgemeines.

Wir betrachten ein allgemeines DGL-System erster Ordnung:

$$\mathbf{y}'(t) = \mathbf{f}(t, \mathbf{y}(t)) \quad (8.1)$$

mit  $\mathbf{y}(t) \in \mathbb{R}^n$ , hinreichend glatter rechter Seite  $\mathbf{f} : I \times D \rightarrow \mathbb{R}^n$ ,  $I \subset \mathbb{R}$  offenes Intervall und  $D$  Gebiet in  $\mathbb{R}^n$ .  $\mathbf{y}^*$  sei eine spezielle Lösung von (8.1). Wir fragen nach dem Verhalten „benachbarter“ Lösungen  $\mathbf{y}(t; t_0, \mathbf{y}_0)$ .

### Definition (8.2)

**a)**  $\mathbf{y}^*$  heißt **stabil** (auch **Ljapunov–stabil**) auf  $I$ , falls  $\mathbf{y}^*$  auf  $I$  definiert ist und es zu  $t_0 \in I$  und  $\varepsilon > 0$  stets ein  $\delta > 0$  gibt, mit

$$\forall \mathbf{y}_0 : \|\mathbf{y}_0 - \mathbf{y}^*(t_0)\| < \delta \Rightarrow \|\mathbf{y}(t; t_0, \mathbf{y}_0) - \mathbf{y}^*(t)\| < \varepsilon \quad (\forall t \in I).$$

**b)** Kann man in a) die Größe  $\delta > 0$  unabhängig von  $t_0$  wählen, so heißt  $y^*$  **gleichmäßig stabil** auf  $I$ .

**c)** Ist  $y^*$  auf  $[a, \infty[ \subset I$  erklärt, so heißt  $y^*$  dort **asymptotisch stabil**, falls  $y^*$  stabil ist und es zu jedem  $t_0 \geq a$  ein  $\delta(t_0) > 0$  gibt mit

$$\forall y_0 : \|y_0 - y^*(t_0)\| < \delta \Rightarrow \lim_{t \rightarrow \infty} \|y(t; t_0, y_0) - y^*(t)\| = 0.$$

**d)** Schließlich heißt  $y^*$  **strikt stabil**, falls  $y^*$  gleichmäßig und asymptotisch stabil ist.

### **Bemerkungen (8.3)**

**a)** In (8.2) a) wird implizit vorausgesetzt, dass  $y(\cdot; t_0, y_0)$  für  $\|y_0 - y^*(t_0)\| < \delta$  (zumindest) auf  $I$  erklärt ist. Zumeist wird auch bei der Definition der Stabilität ein Intervall der Form  $I = [a, \infty[$  zugrunde gelegt. Für **autonome DGL** lässt sich darüber hinaus

(zeitliche Verschiebungsinvarianz!)  $a := t_0 := 0$  setzen.

Stabilität bedeutet dann, dass die Trajektorien mit Anfangswerten in der Nähe von  $y^*(0)$  für alle Zeiten  $t \geq 0$  in einem  $\varepsilon$ -Schlauch um  $y^*(t)$  verbleiben, während sie sich im Falle der asymptotischen Stabilität  $y^*(t)$  für  $t \rightarrow \infty$  annähern.

**b)** Mit Hilfe der Transformation

$$\begin{aligned} z(t) &:= y(t) - y^*(t) \\ z'(t) &= f(t, z(t) + y^*(t)) - f(t, y^*(t)) \\ &=: f^*(t, z(t)) \end{aligned} \quad (8.4)$$

kann man sich o.B.d.A. auf die Untersuchung der **Stabilität der Nulllösung  $z^* = 0$**  zurück ziehen. In der Tat ist  $z^* := 0$  ein **Gleichgewichtspunkt** des DGL-Systems  $z' = f^*(t, z)$ , d.h., es gilt  $f^*(t, z^*(t)) \equiv 0$ .

## B. Stabilität bei linearen DGL.

Gegeben sei ein homogenes, lineares DGL-System

$$y'(t) = A(t)y(t), \quad a \leq t < \infty \quad (8.5)$$

mit stetiger Koeffizientenmatrix  $A(t) \in \mathbb{R}^{(n,n)}$ . Ferner sei  $Y(t)$  ein beliebiges Fundamentalsystem von (8.5).

### Satz (8.6) (Stabilitätssatz I)

**a)**  $y^* = 0$  ist genau dann auf dem Intervall  $I = [a, \infty[$  stabil, falls  $Y(t)$  auf  $I$  beschränkt ist.

**b)**  $y^* = 0$  ist genau dann gleichmäßig stabil auf  $I$ , falls es eine Konstante  $M > 0$  gibt mit

$$\forall t \geq t_0 \geq a : \quad \|Y(t) Y(t_0)^{-1}\| \leq M.$$

c)  $y^* = 0$  ist genau dann asymptotisch stabil, falls gilt:

$$\lim_{t \rightarrow \infty} \|\mathbf{Y}(t)\| = 0.$$

**Beweis:**

Nach Satz (6.8) lautet die allg. Lösung von (8.5)  $y(t) = \mathbf{Y}(t) \mathbf{c}$ ,  $\mathbf{c} \in \mathbb{R}^n$ . Entsprechend ist Lösung der AWA gegeben durch

$$y(t; t_0, y_0) = \mathbf{Y}(t) \mathbf{Y}(t_0)^{-1} y_0.$$

**zu a):** Ist  $y^* = 0$  stabil, so ist jede Lösung von  $y' = \mathbf{A} y$  beschränkt. Damit sind auch die Spaltenvektoren der Fundamentalmatrix  $\mathbf{Y}(t)$  beschränkt und damit auch  $\|\mathbf{Y}(t)\|$  selbst.

Umgekehrt folgt aus  $\|\mathbf{Y}(t)\| \leq M \quad (\forall t), M > 0$ :

$$\begin{aligned} \|y(t; t_0, y_0)\| &\leq \|\mathbf{Y}(t)\| \|\mathbf{Y}(t_0)^{-1}\| \|y_0\| \\ &\leq M \cdot \|\mathbf{Y}(t_0)^{-1}\| \cdot \delta := \varepsilon. \end{aligned}$$

**zu b):** Ist  $y^* = 0$  gleichm. stabil, so folgt  $\|Y(t) Y(t_0)^{-1} y_0\| \leq \varepsilon$  für alle  $t \geq t_0 \geq a$  und  $\|y_0\| \leq \delta$ . Damit ergibt sich  $\|Y(t) Y(t_0)^{-1}\| \leq \varepsilon/\delta$ . Die Umkehrung erhält man wie in a).

**zu c):** Dies folgt unmittelbar aus obiger Darstellung der Lösungen. ■

### Satz (8.7)

Sei  $\lambda(t)$  der größten EW der symmetrischen Matrix  $A(t) + A(t)^T$ . Ist dann

$$\int_{t_0}^{\infty} \lambda(t) dt = -\infty, \quad a \leq t_0 < \infty,$$

so ist  $y^* = 0$  asymptotisch stabil.

**Beweis:**

$$\begin{aligned}\frac{d}{dt} \|\mathbf{y}(t)\|^2 &= \frac{d}{dt} (\mathbf{y}(t)^\top \mathbf{y}(t)) \\ &= (\mathbf{A}(t) \mathbf{y}(t))^\top \mathbf{y}(t) + \mathbf{y}(t)^\top (\mathbf{A}(t) \mathbf{y}(t)) \\ &= \mathbf{y}(t)^\top (\mathbf{A}(t)^\top + \mathbf{A}(t)) \mathbf{y}(t) \\ &\leq \lambda(t) (\mathbf{y}(t)^\top \mathbf{y}(t)) \\ &= \lambda(t) \cdot \|\mathbf{y}(t)\|^2.\end{aligned}$$

Für  $\|\mathbf{y}(t)\| \neq 0$  folgt hieraus durch Integration:

$$\|\mathbf{y}(t)\|^2 \leq \|\mathbf{y}_0\|^2 \cdot \exp \left( \int_{t_0}^t \lambda(\tau) d\tau \right). \quad \blacksquare$$

## Satz (8.8) (Stabilitätssatz II)

Gegeben sei ein lineares DGL-System  $y' = Ay$ , mit konstanter(!) Matrix  $A \in \mathbb{R}^{(n,n)}$ .  $\lambda_j$  bezeichne die EWe von  $A$ ,  $j = 1, \dots, n$ , und  $g(\lambda_j)$  bzw.  $a(\lambda_j)$  deren geom. bzw. algebr. Vielfachheiten. Dann gelten:

- a)  $y^* = 0$  ist *strikt stabil*  $\Leftrightarrow \forall j : \operatorname{Re}(\lambda_j) < 0$ ,
- b)  $y^* = 0$  ist *gleichmäßig stabil*  $\Leftrightarrow \forall j : \operatorname{Re}(\lambda_j) \leq 0$  und  $\operatorname{Re}(\lambda_j) = 0 \Rightarrow g(\lambda_j) = a(\lambda_j)$ .
- c) In allen anderen Fällen ist  $y^* = 0$  instabil.

### Beweis:

Man erhält die obigen Aussagen unmittelbar aus der Darstellung des Fundamentalsystems in Abschnitt 6 D, insbesondere aus den Darstellungen (6.21), (6.22) und (6.28). ■



## Beispiele (8.9)

a) Der Gleichgewichtspunkt  $y^* = 0$  des folgenden DGL-Systems ist instabil

$$y'(t) = A y(t) = \begin{pmatrix} 4 & 8 & 4 \\ -1 & -2 & 1 \\ -2 & -4 & -6 \end{pmatrix} y(t)$$

Die EWe  $\lambda_1 = -4$  und  $\lambda_2 = 0$  der Koeffizientenmatrix erfüllen zwar  $\operatorname{Re}(\lambda_j) \leq 0$ , jedoch ist  $\lambda_2 = 0$  doppelter Eigenwert mit der geometrischen Vielfachheit  $g(\lambda_2) = 1 < a(\lambda_2) = 2$ .

Man überzeuge sich von der Instabilität des Gleichgewichtspunktes durch die Bestimmung eines Fundamentalsystem.

**b)** Das DGL-System

$$\begin{pmatrix} y_1'(t) \\ y_2'(t) \end{pmatrix} = \mathbf{A} \mathbf{y}(t) + \mathbf{b} = \begin{pmatrix} -1 & 1 \\ -1 & -1 \end{pmatrix} \begin{pmatrix} y_1(t) \\ y_2(t) \end{pmatrix} + \begin{pmatrix} 5 \\ 1 \end{pmatrix}$$

besitzt den Gleichgewichtspunkt  $\mathbf{y}^* = (3, -2)^\top$ .

Die Transformation  $\mathbf{z} := \mathbf{y} - \mathbf{y}^*$  liefert das homogene DGL-System  $\mathbf{z}' = \mathbf{A} \mathbf{z}$  mit der obigen Matrix  $\mathbf{A}$ .

Die Eigenwerte von  $\mathbf{A}$  sind  $\lambda_{1,2} = -1 \pm i$ . Damit ist der Gleichgewichtspunkt  $\mathbf{y}^*$  nach (8.8) a) strikt stabil.

Ohne Beweis zitieren wir noch ein Kriterium für strikte Stabilität, welches mit dem charakteristischen Polynom der Matrix  $\mathbf{A}$  arbeitet und ohne die konkrete Berechnung der Eigenwerte auskommt! Dieses Kriterium findet in der Regelungstheorie vielfach Anwendung.

### Satz (8.10) (Kriterium von Routh und Hurwitz\*)

Gegeben sei ein reelles Polynom  $p(z) = \sum_{k=0}^n a_k z^k$ ,  $a_n > 0$ .  
Es sind äquivalent:

- a) Alle Nullstellen von  $p(z)$  haben negativen Realteil.
- b) Es gilt  $a_k > 0$ ,  $k = 0, 1, \dots, n$ . Ferner sind alle Hauptunterdeterminanten der folgenden  $(n, n)$ -Matrix positiv:

$$\mathbf{H} = \begin{pmatrix} a_1 & a_0 & 0 & 0 & \cdots & 0 \\ a_3 & a_2 & a_1 & a_0 & \cdots & 0 \\ a_5 & a_4 & a_3 & a_2 & \cdots & 0 \\ \vdots & \vdots & & & & \vdots \\ a_{2n-1} & a_{2n-2} & \cdots & \cdots & \cdots & a_n \end{pmatrix}$$

Dabei sei  $a_k := 0$  für alle  $k > n$ .

\*nach Adolf Hurwitz (1859–1919) und Edward John Routh (1831–1907)

### Beispiel (8.11)

Für das Polynom  $p(z) = 2z^3 + 4z^2 + 5z + 6$  ergibt sich

$$\mathbf{H} = \begin{pmatrix} 5 & 6 & 0 \\ 2 & 4 & 5 \\ 0 & 0 & 2 \end{pmatrix}.$$

Das Routh–Hurwitz–Kriterium ist hiermit erfüllt, d.h., alle Nullstellen von  $p(z)$  haben negativen Realteil.

Eine **algorithmische Fassung des Routh–Hurwitzschen Kriteriums** ist in dem Lehrbuch von Hairer, Norsett und Wanner angegeben:

Setzt man für  $k \geq 0$ :

$$c_{0,k} := (-1)^k a_{n-2k}, \quad c_{1,k} := (-1)^k a_{n-2k-1}, \quad (8.12)$$

wobei  $a_k := 0$  für alle  $k < 0$  sei, und berechnet hiermit rekursiv für  $i = 1, 2, \dots$ :

$$c_{i+1,k} := \frac{1}{c_{i,0}} \begin{vmatrix} c_{i-1,0} & c_{i-1,k+1} \\ c_{i,0} & c_{i,k+1} \end{vmatrix}, \quad \text{falls } c_{i,0} \neq 0, \quad (8.13)$$

so ist das Routh–Hurwitzsche Kriterium äquivalent zu der Bedingung

$$\forall i = 0, 1, \dots, n : c_{i,0} > 0. \quad (8.14)$$

Für  $p(z) = 2z^3 + 4z^2 + 5z + 6$  ergibt sich beispielsweise:

$$\begin{aligned} c_{0,0} &= 2, & c_{0,1} &= -5, & c_{0,2} &= 0, & \dots \\ c_{1,0} &= 4, & c_{1,1} &= -6, & c_{1,2} &= 0, & \dots \\ c_{2,0} &= \frac{1}{4} \begin{vmatrix} 2 & -5 \\ 4 & -6 \end{vmatrix} = 2, & c_{2,1} &= 0, & \dots \\ c_{3,0} &= \frac{1}{2} \begin{vmatrix} 4 & -6 \\ 2 & 0 \end{vmatrix} = 6, \end{aligned}$$

so dass das Routh–Hurwitz–Kriterium erfüllt ist.

### C. Qualitatives Verhalten für $n = 2$ .

Wir untersuchen das qualitative Verhalten der Trajektorien  $y(t)$  in der Nähe des Gleichgewichtspunktes  $y^* = 0$  für ein ebenes, homogenes DGL-System mit konstanten Koeffizienten

$$y'(t) = A y(t), \quad y(t) \in \mathbb{R}^2, \quad A \in \mathbb{R}^{(2,2)}. \quad (8.15)$$

Es seien  $\lambda_1, \lambda_2$  die EWe von  $A$ ;  $v^1, v^2$  seien zugehörige EVen bzw. EV und HV.

Mit der Transformationsmatrix  $S := (v^1, v^2)$  und

$$J := S^{-1} A S = \begin{cases} \begin{pmatrix} \lambda_1 & 0 \\ 0 & \lambda_2 \end{pmatrix}, & \text{falls } \lambda_1 \neq \lambda_2 \\ & \text{oder } \lambda_1 = \lambda_2, \quad g(\lambda_2) = 2 \\ \begin{pmatrix} \lambda_1 & 1 \\ 0 & \lambda_2 \end{pmatrix}, & \text{falls } \lambda_1 = \lambda_2 = \lambda \\ & \text{und } g(\lambda) = 1 \end{cases}$$
$$w(t) := S^{-1} y(t)$$

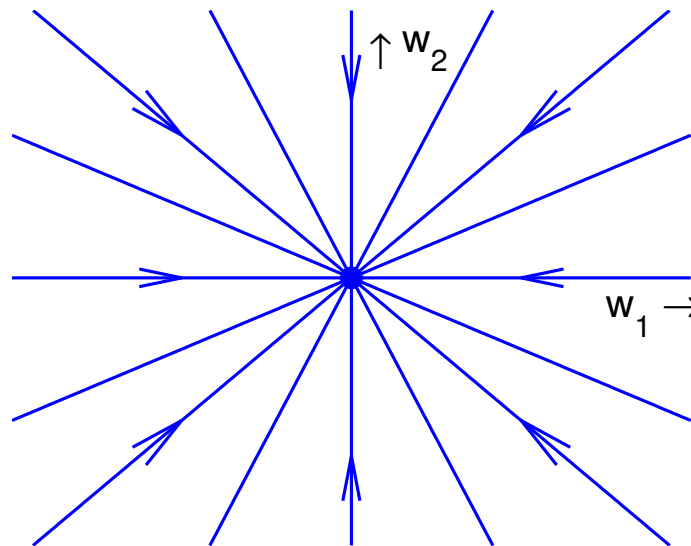
erhält man für  $w(t)$  die transformierte DGL

$$w'(t) = J w(t). \quad (8.16)$$

**Klassifikation in der Phasenebene:**

**a) Asymptotisch stabiler Knotenpunkt 1. Art:**

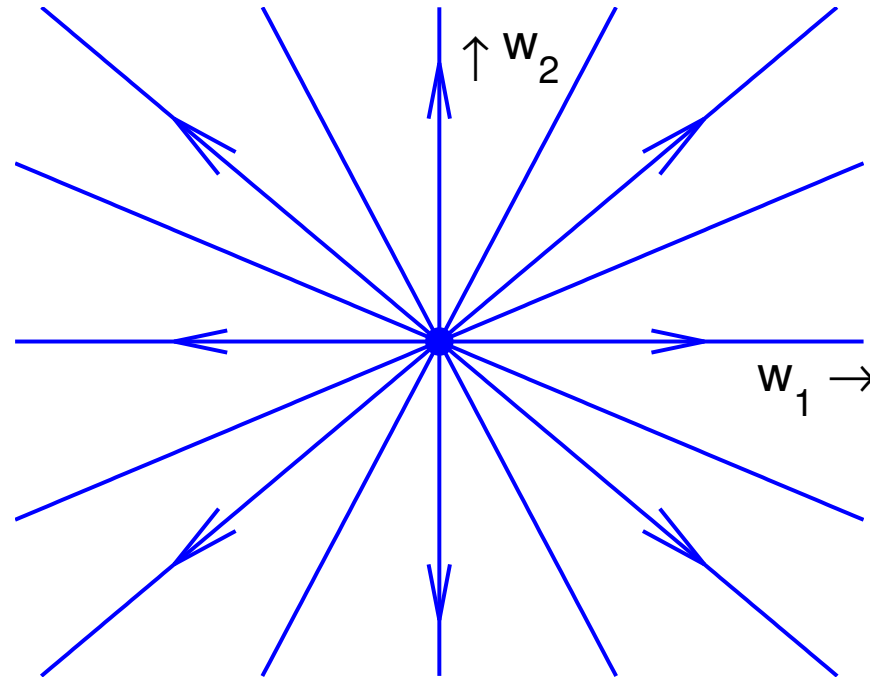
$$\lambda_1 = \lambda_2 < 0, \quad g(\lambda_1) = 2$$



**Abb. 8.1.** Stabiler Knoten 1. Art

**b) Instabiler Knotenpunkt 1. Art:**

$$\lambda_1 = \lambda_2 > 0, \quad g(\lambda_1) = 2$$

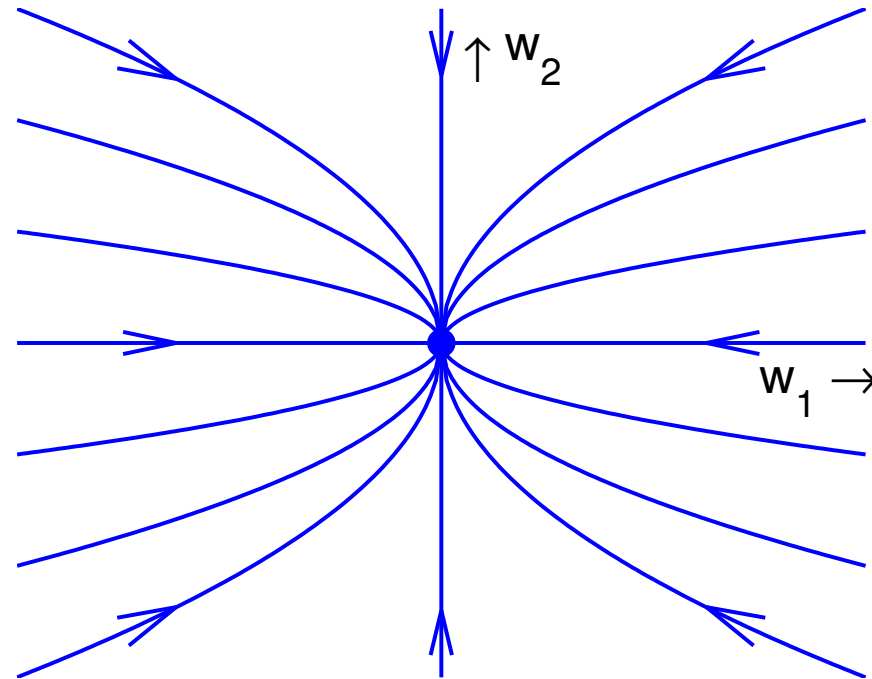


**Abb. 8.2.** Instabiler Knoten 1. Art



c) **Asymptotisch stabiler Knotenpunkt 2. Art:**

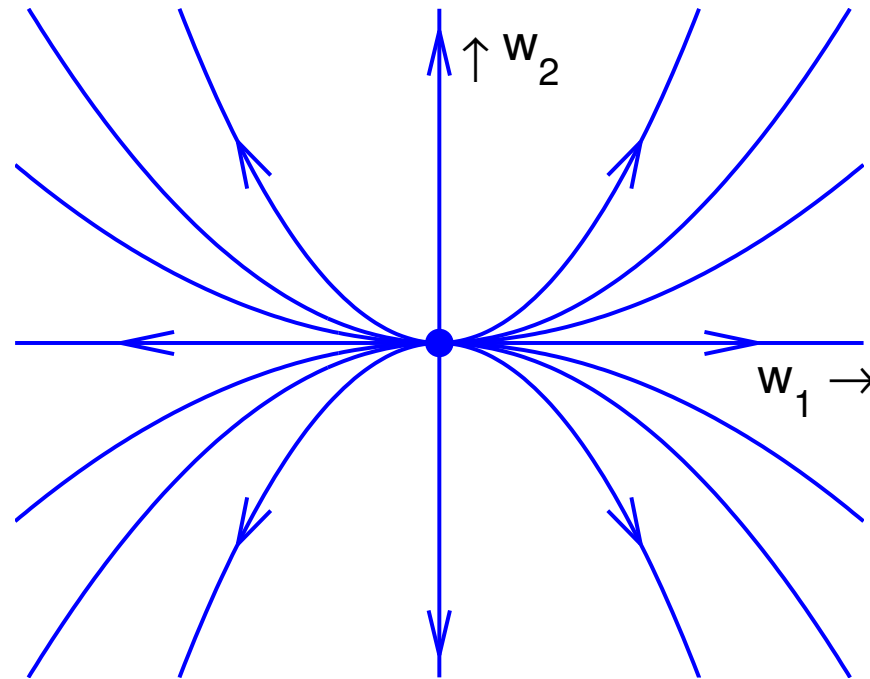
$$\lambda_1, \lambda_2 < 0, \quad \lambda_1 \neq \lambda_2, \quad w_j(t) = w_{j0} e^{\lambda_j t}$$



**Abb. 8.3.** Stabiler Knoten 2. Art

d) **Instabiler Knotenpunkt 2. Art:**

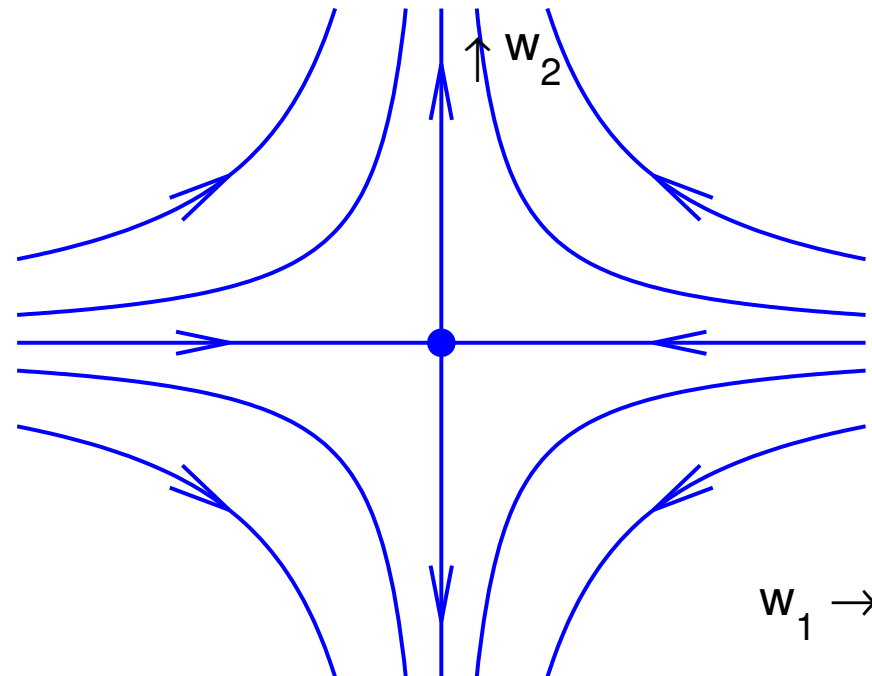
$$\lambda_1, \lambda_2 > 0, \quad \lambda_1 \neq \lambda_2, \quad w_j(t) = w_{j0} e^{\lambda_j t}$$



**Abb. 8.4.** Instabiler Knoten 2. Art

e) **Instabiler Sattelpunkt:**

$$\lambda_1 < 0 < \lambda_2$$

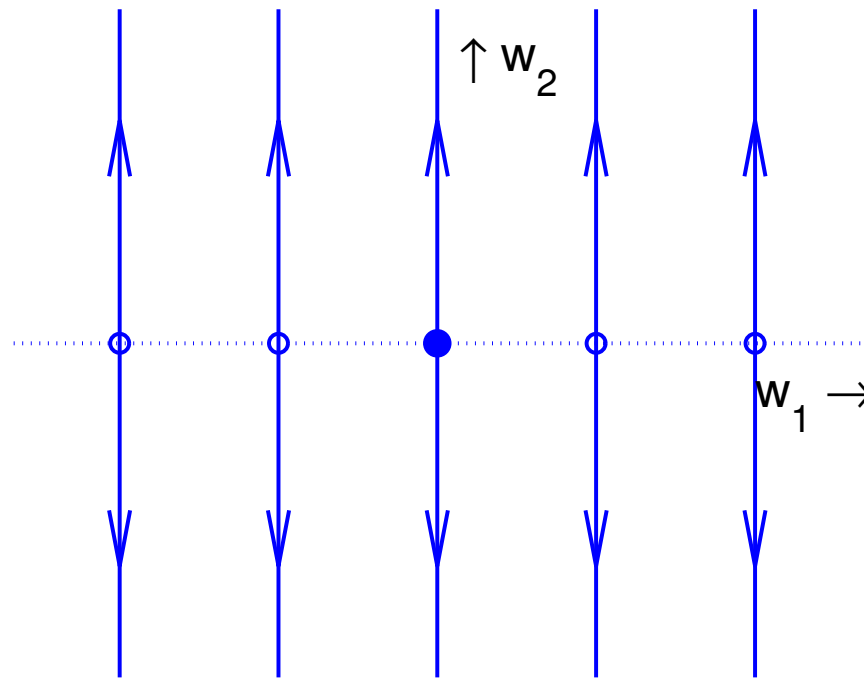


**Abb. 8.5.** Instabiler Sattelpunkt

f) **Parallele Geraden:**

$$\lambda_1 = 0, \lambda_2 \neq 0;$$

Beachte: 0 ist kein isolierter stationärer Punkt!



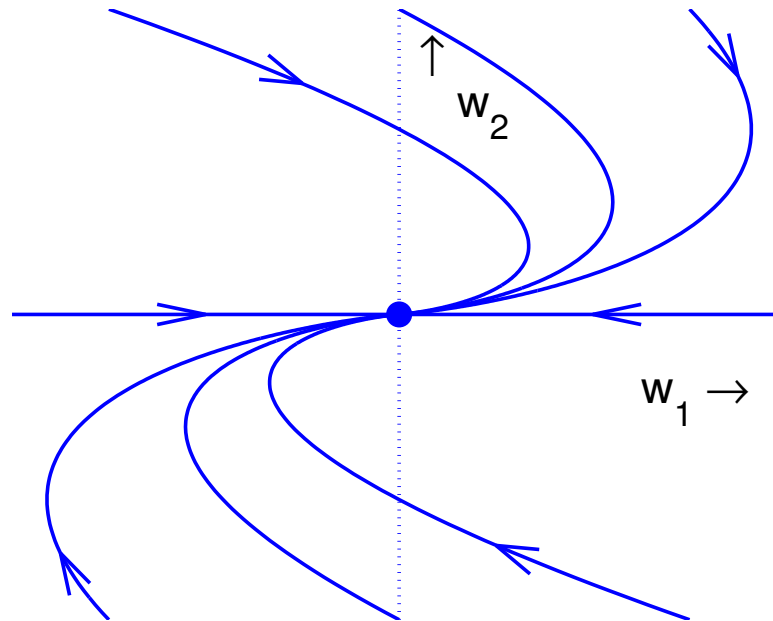
**Abb. 8.6.** Parallele Geraden

**g) Knotenpunkt 3. Art:**

$$\lambda_1 = \lambda_2 = \lambda \in \mathbb{R}, \quad g(\lambda) = 1,$$

$$w_1(t) = (w_{10} + w_{20}t) e^{\lambda t}, \quad w_2(t) = w_{20} e^{\lambda t}$$

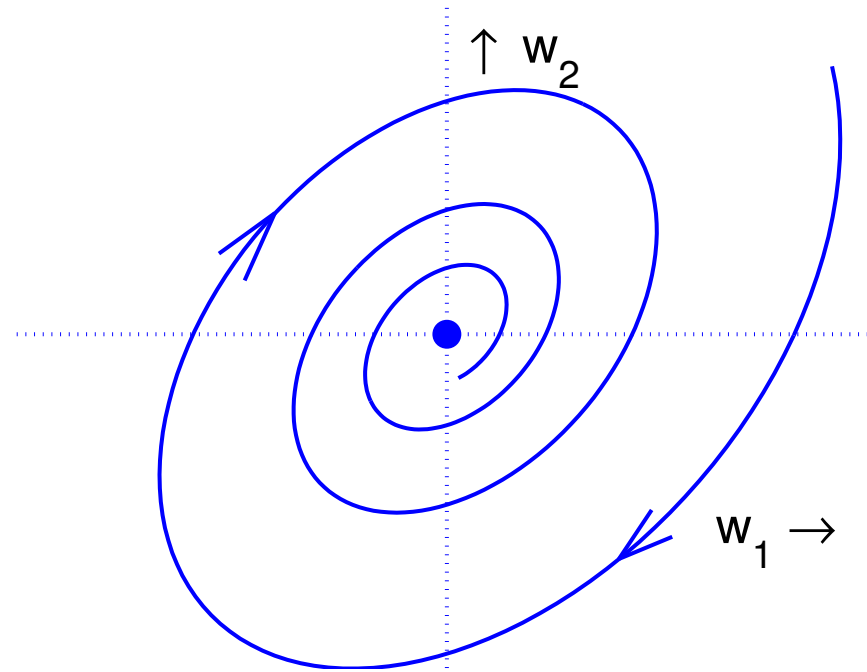
0 ist für  $\lambda > 0$  *instabil*, für  $\lambda < 0$  *asymptotisch stabil*



**Abb. 8.7.** Knotenpunkt 3. Art

**h) Asymptotisch stabiler Strudelpunkt:**

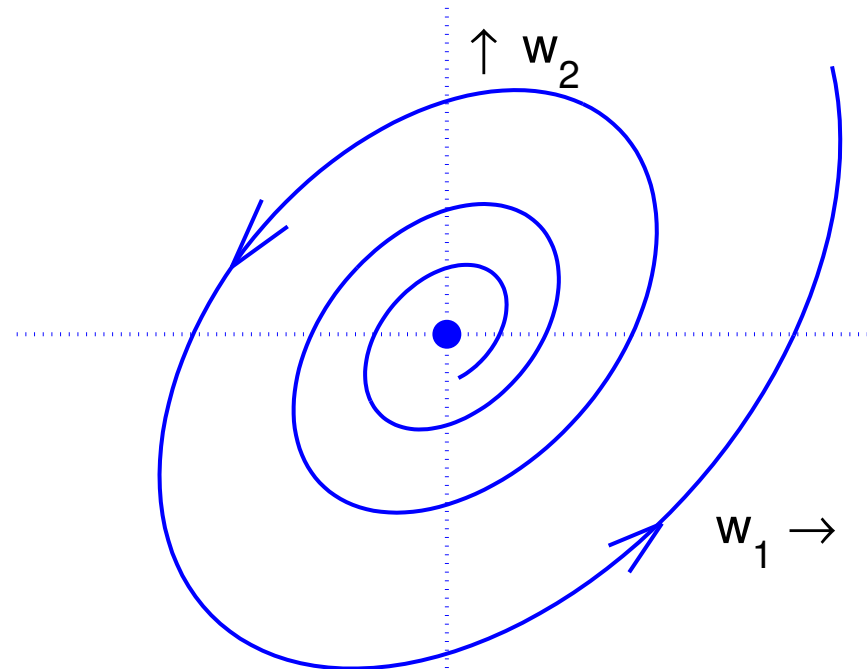
$$\lambda_1 = \overline{\lambda_2} = \lambda = \alpha + i\beta, \quad \beta \neq 0, \quad \alpha < 0$$



**Abb. 8.8.** Stabiler Strudelpunkt

**i) Instabiler Strudelpunkt:**

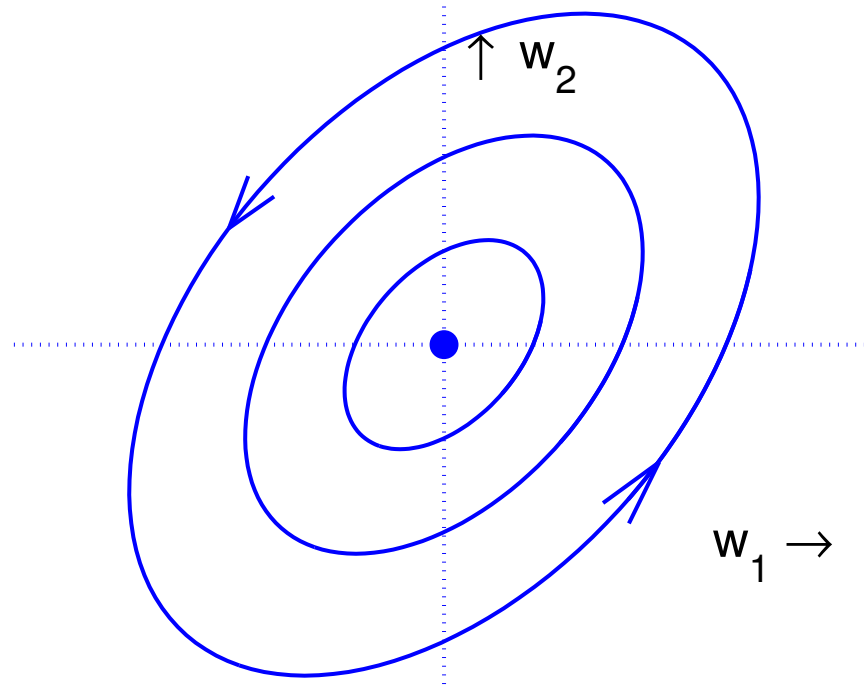
$$\lambda_1 = \overline{\lambda_2} = \lambda = \alpha + i\beta, \quad \beta \neq 0, \quad \alpha > 0$$



**Abb. 8.9.** Instabiler Strudelpunkt

**j) Stabiler Wirbelpunkt:**

$$\lambda_1 = \overline{\lambda_2} = \lambda = i\beta, \quad \beta \neq 0$$



**Abb. 8.10.** Stabiler Wirbelpunkt



## D. Der nichtlineare Fall.

Wir betrachten wieder ein autonomes (nichtlineares) DGL-System

$$\mathbf{y}'(t) = \mathbf{f}(\mathbf{y}(t)). \quad (8.17)$$

$\mathbf{y}^* = \mathbf{0} \in \mathbb{R}^n$  sei Gleichgewichtspunkt des Systems, also  $\mathbf{f}(\mathbf{0}) = \mathbf{0}$ .

Häufig gelingt es, die Stabilität der DGL (8.17) durch **Linearisierung** der rechten Seite nachzuweisen. Ist  $\mathbf{f}$  hinreichend glatt, so liefert die Taylor-Entwicklung von  $\mathbf{f}$  um  $\mathbf{y} = \mathbf{0}$ :

$$\begin{aligned} \mathbf{y}'(t) &= \mathbf{A} \mathbf{y}(t) + \mathbf{g}(\mathbf{y}(t)), & \mathbf{A} &:= \mathbf{Jf}(\mathbf{0}), \\ \mathbf{g}(\mathbf{0}) &= \mathbf{0}, & \mathbf{g}(\mathbf{y}) &= \mathcal{O}(\|\mathbf{y}\|^2). \end{aligned} \quad (8.18)$$

Ist die „**verkürzte**“ **DGL**  $\mathbf{y}' = \mathbf{A} \mathbf{y}$  nun strikt stabil, bzw. instabil, so überträgt sich dies auch auf das nichtlineare DGL-System.

### Satz (8.19) (Stabilitätssatz III)

Unter den obigen Voraussetzungen lässt sich zeigen:

- a) Gilt für alle EWe  $\lambda_j$  von  $\mathbf{A} = \mathbf{Jf}(0)$  :  $\operatorname{Re}(\lambda_j) < 0$ , so ist  $\mathbf{y}^* = \mathbf{0}$  ein strikt stabiler Gleichgewichtspunkt von  $\mathbf{y}' = \mathbf{f}(\mathbf{y})$ .
- b) Existiert ein EW  $\lambda_j$  von  $\mathbf{A}$  mit  $\operatorname{Re}(\lambda_j) > 0$ , so ist  $\mathbf{y}^* = \mathbf{0}$  instabiler Gleichgewichtspunkt.

### Warnung (8.20)

Die Stabilität bzw. Instabilität des linearisierten DGL-Systems überträgt sich nicht notwendig auf das nichtlineare DGL-System, falls für alle EWe  $\operatorname{Re}(\lambda_j) \leq 0$  gilt, es jedoch zumindest einen Eigenwert  $\lambda_k$  gibt mit  $\operatorname{Re}(\lambda_k) = 0$ .

## Beispiel (8.21)

Wir betrachten die DGL des physikalischen Pendels

$$\varphi''(t) = -\frac{g}{\ell} \sin \varphi(t) = -\omega^2 \sin \varphi(t).$$

Mit  $y_1 := \varphi$ ,  $y_2 := \varphi'$  ergibt sich das DGL-System:

$$\begin{aligned} y_1'(t) &= y_2(t) \\ y_2'(t) &= -\omega^2 \sin(y_1(t)). \end{aligned}$$

Die Gleichgewichtspunkte sind demnach  $y_{1k} = k\pi$ ,  $y_{2k} = 0$ ,  $k \in \mathbb{Z}$ .

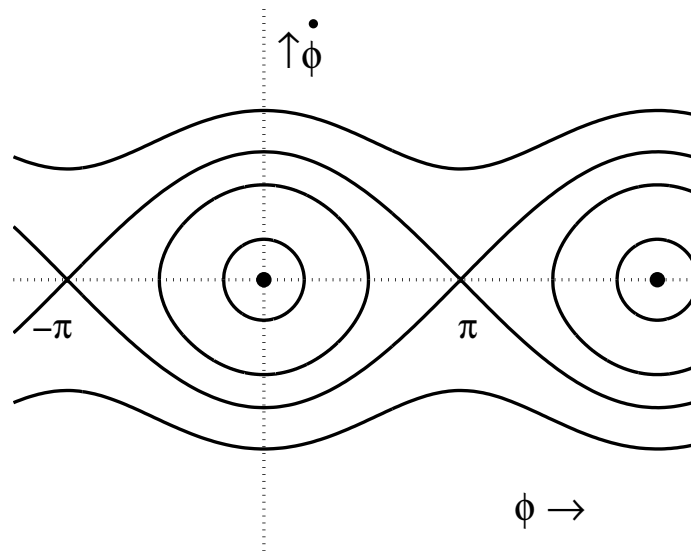
Die Linearisierung um diese Punkte ergibt:

$$\frac{d}{dt} \begin{pmatrix} y_1 \\ y_2 \end{pmatrix} = \begin{pmatrix} 0 & 1 \\ -\omega^2(-1)^k & 0 \end{pmatrix} \begin{pmatrix} y_1 - y_{1k} \\ y_2 - y_{2k} \end{pmatrix} + \mathcal{O}(\|\mathbf{y} - \mathbf{y}^k\|^2).$$

Die Eigenwerte der Koeffizientenmatrix sind

$$\lambda_{1,2} = \begin{cases} \pm i\omega, & \text{falls } k \text{ gerade} \\ \pm \omega, & \text{falls } k \text{ ungerade.} \end{cases}$$

Für ungerade  $k$  ist  $\varphi_k$  also ein instabiler Sattelpunkt. Für gerade  $k$  ist  $\varphi_k$  ein stabiler, jedoch kein asymptotisch stabiler Gleichgewichtspunkt. **Letzteres folgt nicht aus (8.19)!**



**Abb. 8.11.** Phasenportrait des Pendels

Eine andere Methode, nichtlineare Systeme auf Stabilität zu untersuchen, geht auf *Alexander M. Ljapunov (1857–1918)* zurück.

### **Definition (8.22)**

Eine  $C^1$ -Funktion  $V : D \rightarrow \mathbb{R}$  mit  $D \subset \mathbb{R}^n$  offen, heißt eine **Ljapunov-Funktion** für  $f$  auf  $\overline{K}_R(\mathbf{0}) \subset D$ , falls gelten:

- a)  $V(\mathbf{0}) = 0, \quad V(\mathbf{y}) > 0$  für  $\mathbf{y} \neq \mathbf{0}$ ,
- b)  $\langle \nabla V(\mathbf{y}), f(\mathbf{y}) \rangle \leq 0, \quad \forall \mathbf{y} : \|\mathbf{y}\| \leq R.$

Gilt in b) sogar

$$\text{b')} \quad \langle \nabla V(\mathbf{y}), f(\mathbf{y}) \rangle < 0 \quad \forall \mathbf{y} : 0 < \|\mathbf{y}\| \leq R,$$

so heißt  $V$  eine **strenge Ljapunov-Funktion**.

### Satz (8.23) (Stabilitätssatz IV)

- a) Ist  $V(\mathbf{y})$  eine Ljapunov-Funktion von  $\mathbf{f}$ , so ist  $\mathbf{y}^* = \mathbf{0}$  ein gleichmäßig stabiler Gleichgewichtspunkt.
- b) Ist  $V(\mathbf{y})$  sogar eine strenge Ljapunov-Funktion, so ist  $\mathbf{y}^* = \mathbf{0}$  ein asymptotisch stabiler Gleichgewichtspunkt.

#### Beweis:

**zu a)** Zu  $0 < \varepsilon \leq R$  sei  $M_\varepsilon := \min\{V(\mathbf{y}) : \|\mathbf{y}\| = \varepsilon\} > 0$ .

Wegen der Stetigkeit von  $V$  existiert  $0 < \delta < \varepsilon$  mit

$$\|\mathbf{y}\| \leq \delta \quad \Rightarrow \quad V(\mathbf{y}) < M_\varepsilon.$$

Ist  $\mathbf{y}_0 \in K_\delta(\mathbf{0})$  Anfangswert, so folgt für die zugehörige Trajektorie

$$\frac{d}{dt} V(\mathbf{y}(t)) = \nabla V(\mathbf{y}(t))^\top \mathbf{f}(\mathbf{y}(t)) \leq 0,$$

also ist  $V(\mathbf{y}(t)) < M_\varepsilon$  für alle  $t \geq t_0$ , und somit auch  $\|\mathbf{y}(t)\| < \varepsilon$  für  $t \geq t_0$ .

**zu b)** Ist  $V(\mathbf{y})$  strenge Ljapunov-Funktion, so fällt  $V(\mathbf{y}(t))$  für  $t \geq t_0$ . Daher existiert  $E := \lim_{t \rightarrow \infty} V(\mathbf{y}(t))$ . Wäre  $E > 0$ , so gäbe es ein  $\alpha$ ,  $0 < \alpha < \varepsilon$ , mit  $V(\mathbf{y}) < E$  für alle  $\|\mathbf{y}\| < \alpha$ . Daher verläuft die Trajektorie ganz in  $\alpha \leq \|\mathbf{y}\| \leq \varepsilon$ . Sei nun  $M_1 := \max \{ \nabla V(\mathbf{y})^\top \mathbf{f}(\mathbf{y}) \mid \alpha \leq \|\mathbf{y}\| \leq \varepsilon \}$ , also nach Voraussetzung  $M_1 < 0$ . Dann folgt:

$$V(\mathbf{y}(t)) - V(\mathbf{y}_0) = \int_{t_0}^t \frac{d}{d\tau} V(\mathbf{y}(\tau)) d\tau \leq M_1(t - t_0)$$

und damit  $\lim_{t \rightarrow \infty} V(\mathbf{y}(t)) = -\infty$ , im Widerspruch zu den Eigenschaften von  $V$ . Damit ist  $\lim_{t \rightarrow \infty} V(\mathbf{y}(t)) = 0$ , und damit auch  $\lim_{t \rightarrow \infty} \mathbf{y}(t) = \mathbf{0}$ . ■

### Bemerkung (8.24)

Analog lässt sich zeigen: Gilt für eine  $C^1$ -Funktion  $V = V(\mathbf{y})$  die Eigenschaft (8.22) a) sowie

$$\langle \nabla V(\mathbf{y}), \mathbf{f}(\mathbf{y}) \rangle > 0, \quad \forall \mathbf{y} : 0 < \|\mathbf{y}\| \leq R,$$

so ist  $\mathbf{y}^* = \mathbf{0}$  ein *instabiler* Gleichgewichtspunkt.

**Beispiel (8.25)**

$$\begin{aligned} x'(t) &= -x(t)^3 + y(t) \\ y'(t) &= -x(t) - y(t)^5 \end{aligned}$$

Der Punkt  $(x^0, y^0)^\top = \mathbf{0}$  ist ein isolierter Gleichgewichtspunkt. Setzt man  $V(x, y) := a x^2 + b y^2$ , so erfüllt  $V$  für  $a, b > 0$  die Eigenschaft a) von (8.22). Ferner ist

$$\langle \nabla V, \mathbf{f}(x, y) \rangle = -2 a x^4 - 2 b y^6 + 2 (a - b) x y.$$

Für  $a = b > 0$  ist  $V$  also eine strenge Ljapunov-Funktion, und  $(x^0, y^0)$  somit ein asymptotisch stabiler Gleichgewichtspunkt.



### Beispiel (8.26)

Für das Beispiel des physikalischen Pendels, (8.21), setze man

$$V(y_1, y_2) := \frac{1}{2} y_2^2 + \omega^2 (1 - \cos y_1).$$

Man sieht dann unmittelbar, dass  $V$  eine Ljapunov-Funktion auf  $\overline{K}_R(\mathbf{0})$  für  $R < \pi$  ist.  $\mathbf{0}$  ist also ein stabiler Gleichgewichtspunkt. Natürlich existiert für dieses Beispiel keine strenge Ljapunov-Funktion.